

О ПОЛУЧЕНИИ ДИАГРАММ РАСТЯЖЕНИЯ ОБРАЗЦОВ
ПРИ ВЗРЫВНОМ НАГРУЖЕНИИ

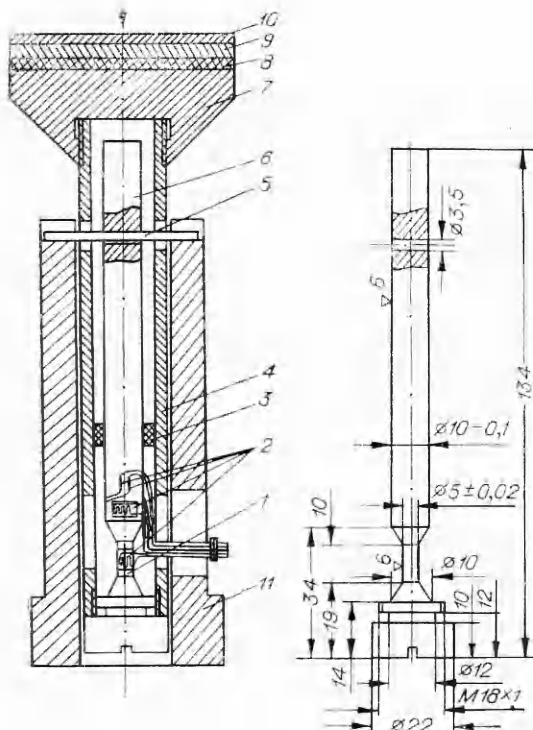
А. П. Большаков, С. А. Новиков,
В. П. Пылева, В. А. Синицын, К. И. Филиппов

(Москва)

В последнее время для механических испытаний конструкционных материалов при больших скоростях деформирования все шире используется энергия взрывчатых веществ [1–8]. В данной работе описывается малогабаритное взрывное устройство для испытаний образцов на одноосное растяжение при скоростях деформации $\sim 10^3$ с⁻¹ и приводятся некоторые результаты испытаний образцов из стали и алюминиевых сплавов.

Взрывное нагружающее устройство (фиг. 1, а) состоит из слоя взрывчатого вещества 10, ударника 9, демпфера 8, головки-приемника 7 и цилиндрического волновода 4, через который образцу передается растягивающее усилие. Надежный контакт нижнего торца волновода с заплечиками образца обеспечивался с помощью резьбового соединения. Центрирование образца и волновода достигалось прокладкой 3 из полиэтилена. Ввиду измерений деформаций только в проходящей волне растяжения, жесткое закрепление противоположного нагружаемому концу образца не производилось. В экспериментах испытательное устройство с помощью шпильки 5 подшивалось за свободный конец образца на станине 11.

Форма и размеры образцов из стали и сплава АМГ-6 показаны на фиг. 1, б. Поперечные размеры образцов из алюминиевых сплавов АД-1 и Д-16 увеличены (см. табл.). Рабочая часть образцов 1 при испытании деформировалась упруго-пластически, а динамометрическая 6 — только упруго. Длина последней выбиралась такой, чтобы запись деформации была получена до прихода отраженной от свободного конца динамометра упругой волны деформации. Тензодатчики наклеивались попарно на диаметраль-



Фиг. 1

_б

Форма и размеры образцов из стали и сплава АМГ-6 показаны на фиг. 1, б. Поперечные размеры образцов из алюминиевых сплавов АД-1 и Д-16 увеличены (см. табл.). Рабочая часть образцов 1 при испытании деформировалась упруго-пластически, а динамометрическая 6 — только упруго. Длина последней выбиралась такой, чтобы запись деформации была получена до прихода отраженной от свободного конца динамометра упругой волны деформации. Тензодатчики наклеивались попарно на диаметраль-

но противоположных сторонах образца и соединялись последовательно для исключения влияния возможной асимметрии деформации образца.

В экспериментах применялась потенциометрическая схема включения датчиков с источником постоянного напряжения. В качестве регистратора использовался двухлучевой осциллограф С1-18 с полосой пропус-

Материал	$\dot{\varepsilon}_u$ с^{-1}	$\dot{\varepsilon}_{p_1}$ с^{-1}	$\sigma_{0,2}$, $\text{кг}/\text{мм}^2$	$\sigma_{q0,2}$, $\text{кг}/\text{мм}^2$	d_1 , мм	d_2 , мм
АД-1	225	700	13	24	10	24,5
Д-16	200	600	14	25	10	24,5
АМГ-6	300	1700	15	16	5	10
Х18Н10Т	400	1400	25	38	5	10
36ХХТЮ	560	2000	79	84	5	10
Ст. 40Х	400	2000	42	78	5	10

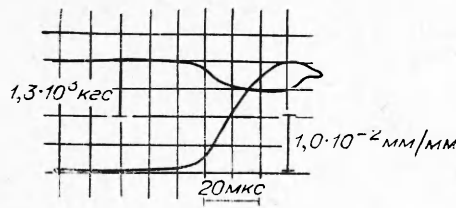
кания от 0,1 до 1 МГц. Тарировка измерительной схемы в опытах осуществлялась путем шунтирования датчиков калиброванным безиндукционным сопротивлением. По измеренной зависимости деформации от времени $\dot{\varepsilon}_q(t)$ в динамометре простым пересчетом (так как модуль упругости E большинства металлов практически не зависит от скорости деформирования) получалась зависимость напряжения от времени в рабочей части образца

$$\sigma(t) = \dot{\varepsilon}_q(t) E \cdot \kappa$$

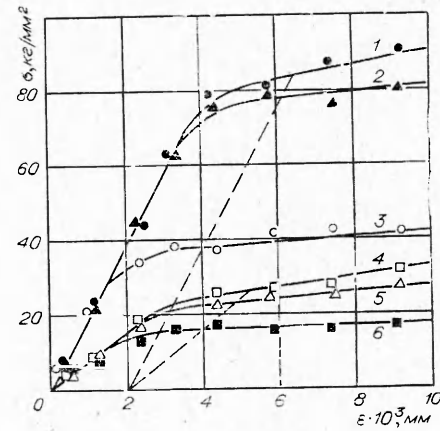
(κ — оношение площадей поперечного сечения динамометрической и рабочей частей образца).

Зависимость деформации образца от $\dot{\varepsilon}(t)$ определялась непосредственно из тензограмм (фиг. 2). Динамическая кривая напряжение — деформация $\sigma=f(\varepsilon)$ строилась из экспериментальных зависимостей напряжения от $\sigma(t)$ и деформации от $\dot{\varepsilon}(t)$ путем исключения параметра времени.

При построении диаграмм напряжение — деформация предполагалось, что в процессе распространения волн по образцу усилие в различ-



Фиг. 2



Фиг. 3

ных сечениях образца остается неизменным. Это условие никогда строго не выполняется, так как при прохождении по образцу волна трансформируется (растягивается) особенно сильно в области упругопластических деформаций. Поэтому для уменьшения несоответствия усилий необходимо рабочую часть образца делать короче [8, 10]. Вместе с тем она должна быть достаточной для проведения измерения деформаций с помощью тензодатчиков с базой 5 мм в зоне, свободной от действия краевых эффектов.

Суммарная максимальная погрешность метода измерения напряжений и деформаций, состоящая из ошибки измерения осциллографом (не более $\pm 10\%$), погрешности обсчета осцилограмм (не более $\pm 5\%$) и погрешности из-за конечной длины датчиков, связанной с волновым характером исследуемого явления и зависящей от скорости деформации (при базе датчика $l=5$ мм и скорости деформации до 10^3 с^{-1} — не более $\pm 5\%$ [11], составляет не более $\pm 20\%$.

На фиг. 3 представлены диаграммы напряжение — деформация, построенные по результатам динамических испытаний образцов. Диаграммы для каждого материала получены в результате испытаний не менее 3-х образцов. В экспериментах исследовали образцы из стали 40Х (криевая 2), X18H10T (3), сплава 36НХТЮ (1), алюминиевых сплавов АД-1 (5), АМГ-6 (6) и Д-16 (4). Некоторые результаты испытаний приведены в таблице.

Поступила 18 III 1974

ЛИТЕРАТУРА

1. Делле В. А., Носкин А. В. Влияние скорости нагружения на пластичность некоторых металлов. Инж.-физ. журн., 1958, № 6.
2. Новиков С. А., Синицын В. А., Иванов А. Г., Васильев Л. В. Упруго-пластические свойства ряда металлов при взрывном нагружении. Физ. метал. и металловед., 1966, т. 21, вып. 3.
3. Новиков С. А., Давнов И. И., Иванов А. Г. Исследование разрушения стали, алюминия и меди при взрывном нагружении. «Физ. металл. и металловед.», 1966, т. 21, вып. 4.
4. Зинкевич В. И., Скоков П. И., Беляев В. И. Установка для испытаний плоских образцов при высоких скоростях деформирования. Сб. науч. тр. Белорусс. политехн. ин-та, 1968, № 2.
5. Hoggatt C. R., Recht R. F. Stress-strain data obtained at high rates using an expanding ring.— Experimental Mechanics, 1969, vol. 9, № 10.
6. Chiang C. H. High-speed tensile testing using high explosives. J. Inst. Metals., 1970, vol. 98, March.
7. Duffy I., Campbell I. D., Hawley R. H. On the use of a torsional split Hopkinson bar to study rate effects in 1100-0 aluminum. Trans. ASME, 1971, vol. E38, № 1.
8. Слуцкая О. Б., Гармаш В. Д. Исследование динамических свойств конструкций с помощью взрывного импульса. В сб. «Динамика и прочность машин», вып. 12, 1971.
9. Ломакин Е. В., Люццау В. Г., Мельшаков А. Ф., Работников Ю. Н. Распространение продольных упруго-пластических волн в малоуглеродистых стальах. МТТ, 1972, № 2.
10. Петушкиов В. Г. О выборе образца для высокоскоростных испытаний на растяжение. Пробл. прочн., 1970, № 4.
11. Климовицкий-Волошенко Ю. А. Динамический предел текучести. М., «Наука», 1965.